

УДК 539.3

ВОЛНЫ НАПРЯЖЕНИЯ В СТЕРЖНЕ ПРИ ДЕЙСТВИИ ПОДВИЖНОЙ НАГРУЗКИ

Р. Г. Якупов

Институт механики Уфимского научного центра РАН, 450054 Уфа
E-mail: imran@anrb.ru

Рассмотрены волновые процессы в полубесконечном стержне, находящемся в упругой среде, при воздействии сосредоточенной нагрузки, движущейся с постоянной скоростью. С использованием преобразования Лапласа по времени решена система двух дифференциальных уравнений движения теории балок Тимошенко. Полученные интегралы определены численно. Показано изменение изгибающего момента по продольной координате за фронтом упругих волн и областью действия сосредоточенной силы в различные моменты времени. Результаты решения представляют собой функции влияния.

Ключевые слова: стержень, сосредоточенная нагрузка, волны напряжения.

В данной работе проанализированы продольные и поперечные волны, которые возникают в полубесконечном стержне, находящемся в упругой среде, при действии сосредоточенной силы, движущейся с постоянной скоростью. В последнее время актуальное значение приобрела задача о распространении волн напряжений и деформаций в инженерных сооружениях большой протяженности.

Динамика строительных систем под воздействием движущихся нагрузок изучалась во многих работах, обзор которых содержится в [1–3]. Обычные уравнения движения теории изгиба дают приближенные решения волновой задачи для больших значений времени и соответствуют мгновенному распространению возмущений вдоль стержня [3]. В рассматриваемом случае уравнение движения запишем с учетом деформаций сдвига и инерции вращения [4]:

$$\frac{\partial Q}{\partial x} + \alpha W = p(x, t) - \rho F \frac{\partial^2 W}{\partial t^2},$$

$$\frac{\partial M}{\partial x} - Q = \rho I \frac{\partial^2 \theta}{\partial t^2};$$

$$Q = k'GF \left(\theta - \frac{\partial W}{\partial x} \right), \quad M = EJ_y \frac{\partial \theta}{\partial x}.$$

Здесь Q , M — поперечная сила и изгибающий момент; W — прогиб; $p(x, t)$ — внешняя сила; ρ , E , G — плотность, модули упругости и сдвига материала стержня; I — полярный момент инерции элемента; F , J_y — площадь поперечного сечения и осевой момент инерции; x — продольная координата, отсчитываемая от опорного устройства; t — время; k' — коэффициент формы поперечного сечения (для прямоугольного сечения $k' = 1,2$, для круглого $k' = 1,1$); α — коэффициент основания, определяемый по формуле [5]

$$\alpha = 0,12E_*(b/l_0)^{1/2}/(1 - \mu_*^2);$$

b — ширина поперечного сечения стержня; l_0 — единичная длина. В случае стержня круглого сечения $b = D$ (D — диаметр стержня). Полный угол поворота равен

$$\frac{\partial W}{\partial x} = \theta + \beta_* \quad (3)$$

(θ, β_* — углы поворота, обусловленного изгибающим моментом и поперечной силой соответственно). Подставляя (2) и (3) в систему (1), получим уравнения, записанные в перемещениях:

$$\begin{aligned} k'GF \left(\frac{\partial \theta}{\partial x} - \frac{\partial^2 W}{\partial x^2} \right) + \rho F \frac{\partial^2 W}{\partial t^2} + \alpha W &= p(x, t), \\ EJ_y \frac{\partial^2 \theta}{\partial x^2} - k'GF \left(\theta - \frac{\partial W}{\partial x} \right) - \rho I \frac{\partial^2 \theta}{\partial t^2} &= 0. \end{aligned} \quad (4)$$

Используя безразмерные величины

$$\xi = \frac{x}{r}, \quad \tau = \frac{c_1 t}{r}, \quad w = \frac{W}{r}, \quad m = \frac{Mr}{EJ_y}$$

и вводя обозначения

$$c_1^2 = \frac{E}{\rho}, \quad c_2^2 = \frac{k'G}{\rho}, \quad r^2 = \frac{J_y}{F}, \quad \gamma = \frac{c_1^2}{c_2^2},$$

разделим уравнение (4) на $k'GF$. В результате получим

$$\begin{aligned} \frac{\partial^2 w}{\partial \xi^2} - \frac{\partial \theta}{\partial \xi} - \gamma \frac{\partial^2 w}{\partial \tau^2} - \zeta w &= -\frac{rp(\xi, \tau)}{\rho F c_2^2}, \\ \frac{\partial w}{\partial \xi} - \theta + \gamma \left(\frac{\partial^2 \theta}{\partial \xi^2} - \frac{\partial^2 \theta}{\partial \tau^2} \right) &= 0. \end{aligned} \quad (5)$$

Здесь $\zeta = r^2 \alpha / (\rho F c_2^2)$; c_1, c_2 — скорости распространения волн изгиба и сдвига. Предполагается, что внешняя сила сосредоточенная и перемещается со скоростью V . Функцию давления запишем следующим образом:

$$p(\xi, \tau) = p_0 \delta(x - Vt) = p_0 \delta[r(\xi - \tau/\beta)].$$

Здесь $\beta = c_1/V$; δ — дельта-функция Дирака, определяемая условием

$$\int_a^b f(\xi) \delta(\xi - X) d\xi = f(X), \quad a \leq X \leq b.$$

Для покоящегося стержня, когда сила p_0 еще не начала двигаться, начальные условия имеют вид

$$\tau = 0: \quad w(\xi, 0) = \theta(\xi, 0) = 0, \quad \frac{\partial w}{\partial \tau} = \frac{\partial \theta}{\partial \tau} = 0.$$

К системе (5) применим преобразование Лапласа по времени

$$\begin{aligned} \frac{d^2 \bar{w}}{d\xi^2} - (\gamma s^2 + \zeta) \bar{w} - \frac{d\bar{\theta}}{d\xi} &= -\frac{p_0 r}{\rho F c_2^2} \int_0^\infty e^{-s\tau} \delta[r(\xi - \tau/\beta)] d\tau, \\ \frac{d\bar{w}}{d\xi} + \gamma \frac{d^2 \bar{\theta}}{d\xi^2} - (\gamma s^2 + 1) \bar{\theta} &= 0 \end{aligned} \quad (6)$$

(\bar{w} , $\bar{\theta}$ — изображения функций w и θ). В правой части первой формулы в (6) выполним замену переменной по формуле

$$z = r(\xi - r/\beta), \quad (7)$$

откуда находим

$$\tau = \beta(\xi - z/r), \quad d\tau = -(\beta/r) dz. \quad (8)$$

Подставив (7) и (8) в подынтегральное выражение в правой части первого уравнения в (6), проведем интегрирование:

$$\int_0^\infty e^{-s\tau} \delta\left[r\left(\xi - \frac{\tau}{\beta}\right)\right] d\tau = -\frac{\beta}{r} e^{-\beta s\tau} e^{\beta s z} \Big|_{z=0} = -\frac{\beta}{r} e^{-\beta s \xi}.$$

В результате система (6) принимает вид

$$\begin{aligned} \frac{d^2 \bar{w}}{d\xi^2} - (\gamma s^2 + \zeta) \bar{w} - \frac{d\bar{\theta}}{d\xi} &= k\gamma e^{-\beta s \xi}, \\ \frac{d\bar{w}}{d\xi} + \gamma \frac{d^2 \bar{\theta}}{d\xi^2} - (\gamma s^2 + 1) \bar{\theta} &= 0, \end{aligned} \quad (9)$$

где $k = p_0/(\rho F V c_1)$.

Исключив $\bar{\theta}$ из (9), находим

$$\frac{d^4 \bar{w}}{d\xi^4} - [(\gamma + 1)s^2 + \zeta] \frac{d^2 \bar{w}}{d\xi^2} + [\gamma s^4 + (\zeta + 1)s^2 + \frac{\zeta}{\gamma}] \bar{w} = k f_2 e^{-\beta s \xi}. \quad (10)$$

Здесь $f_2 = (\beta^2 - 1)\gamma s^2 - 1$. Решение системы (9) имеет вид

$$\begin{aligned} \bar{w} &= A_1 e^{-\lambda_1 \xi} + A_2 e^{-\lambda_2 \xi} + D_1 e^{-\beta s \xi}, \\ \bar{\theta} &= (\lambda_1^2 - \gamma s^2 - \zeta) A_1 e^{-\lambda_1 \xi} / (-\lambda_1) + (\lambda_2^2 - \gamma s^2 - \zeta) A_2 e^{-\lambda_2 \xi} / (-\lambda_2) + D_2 e^{-\beta s \xi}, \end{aligned} \quad (11)$$

где A_1, A_2 — постоянные интегрирования уравнения (10); $D_1 = k f_2 / (b_1 f_1)$; $D_2 = k \beta s / (b_1 f_1)$; $f_1 = (s^2 - a_3^2)(s^2 - a_4^2)$; $a_{3,4} = [b_2 \pm (b_2^2 - 4b_1 \zeta / \gamma)^{1/2}] / (2b_1)$; $b_1 = (\beta^2 - \gamma)(\beta^2 - 1)$; $b_2 = (\beta^2 - 1)\zeta - 1$; $\lambda_{1,2}$ — два (из четырех) корня характеристического уравнения

$$\lambda^4 - [(\gamma + 1)s^2 + \zeta]\lambda^2 + [\gamma s^4 + (\zeta + 1)s^2 + \zeta/\gamma] = 0,$$

удовлетворяющих условию затухания \bar{w} и $\bar{\theta}$ на бесконечности:

$$\lambda_{1,2} = (1/\sqrt{2}) \{ [(\gamma + 1)s^2 + \zeta] \pm \{ (\gamma - 1)^2 s^4 + 2[(\gamma - 1)\zeta - 2]s^2 + \zeta(\zeta - 4/\gamma) \}^{1/2} \}^{1/2}. \quad (12)$$

Представим (12) в виде

$$\lambda_{1,2}^2 = [(\gamma + 1)s^2 + \zeta]/2 \pm f/a, \quad (13)$$

где $f = [(s^2 - a_1^2)(s^2 - a_2^2)]^{1/2}$; $a_{1,2}^2 = (a/2)\{(a - \zeta) \pm a[1 - (\gamma - 1)\zeta/\gamma]^{1/2}\}$; $a = 2/(\gamma - 1)$. Функция $\lambda_1^2(s)$ аналитическая в плоскости интегрирования и не равна нулю. Следуя [6], умножим и разделим λ_2^2 на λ_1^2 . После преобразований имеем

$$\lambda_2^2 \lambda_1^2 / \lambda_1^2 = \gamma(s^2 + \zeta/\gamma)(s^2 + 1/\gamma) / \lambda_1^2. \quad (14)$$

Из (13) и (14) следует, что точками ветвления λ_1 являются точки $s = \pm a_1$, $s = \pm ia_2$, а точками ветвления λ_2 — точки $s = \pm a_1$, $s = \pm ia_2$ и $s = \pm i(\zeta/\gamma)^{1/2}$, $s = \pm i(1/\gamma)^{1/2}$.

Рассмотрим два вида опорного устройства в начальном сечении: шарнирное закрепление и заделку. При шарнирном закреплении преобразованные граничные условия имеют вид

$$\xi = 0: \quad \bar{w}(0, \tau) = \frac{\partial \bar{\theta}}{\partial \xi} = 0.$$

Постоянные интегрирования равны

$$A_1 = \frac{ka}{2f} \left[\gamma + (\lambda_2^2 - \beta^2 s^2) \frac{f_2}{b_1 f_1} \right], \quad A_2 = -\frac{ka}{2f} \left[\gamma + (\lambda_1^2 - \beta^2 s^2) \frac{f_2}{b_1 f_1} \right].$$

В случае заделки на опоре углы поворота и сдвига равны нулю:

$$\xi = 0: \quad \bar{\theta} = 0, \quad \frac{\partial \bar{w}}{\partial \xi} - \bar{\theta} = 0,$$

а постоянные интегрирования равны

$$A_1 = \frac{ak\lambda_1\lambda_2^2}{2\beta fs} \left[\frac{\gamma}{\gamma s^2 + \beta} + \frac{f_2}{b_1 f_1} \right], \quad A_2 = -\frac{ak\lambda_2\lambda_1^2}{2\beta fs} \left[\frac{\gamma}{\gamma s^2 + \beta} + \frac{f_2}{b_1 f_1} \right].$$

Изображение изгибающего момента определяется по формуле

$$\bar{m} = A_1^* e^{-\lambda_1 \xi} + A_2^* e^{-\lambda_2 \xi} - D_3^* e^{-\beta s \xi}, \quad (15)$$

где $A_1^* = (\lambda_1^2 - \gamma s^2 - \zeta)A_1$; $A_2^* = (\lambda_2^2 - \gamma s^2 - \zeta)A_2$; $D_3^* = k\beta^2 s^2/(b_1 f_1)$.

Формула обращения имеет вид

$$\frac{1}{2\pi i} \int_{c-i\infty}^{c+i\infty} F(s) e^{\tau s} ds = \begin{cases} f(\tau), & \tau > 0, \\ 0, & \tau < 0. \end{cases}$$

Определим оригинал изгибающего момента в случае шарнирного закрепления при $V < c_2$. В соответствии с (15) запишем

$$m(\xi, \tau) = (I_1 + I_2 + I_3)/(2\pi i). \quad (16)$$

Здесь

$$I_1 = \int_{c-i\infty}^{c+i\infty} A_2^* e^{(\tau - \lambda_2 \xi/s)s} ds, \quad I_2 = \int_{c-i\infty}^{c+i\infty} A_1^* e^{(\tau - \lambda_1 \xi/s)s} ds, \quad I_3 = \int_{c-i\infty}^{c+i\infty} D_3^* e^{(\tau - \beta \xi)s} ds.$$

Подынтегральные выражения в (16) обладают следующим свойством:

$$s \rightarrow \infty: \quad A_1^*(s) \rightarrow 0, \quad A_2^*(s) \rightarrow 0, \quad D_3^*(s) \rightarrow 0,$$

при этом λ_1 и λ_2 стремятся к постоянным значениям:

$$\lim_{s \rightarrow \infty} \frac{\lambda_2}{s} = 1, \quad \lim_{s \rightarrow \infty} \frac{\lambda_1}{s} = \sqrt{\gamma}.$$

В любой заданный момент времени τ интегралы I_1 и I_2 не равны нулю при $\xi < \tau$ и $\xi < \tau/\sqrt{\gamma}$ соответственно и равны нулю при $\xi > \tau$ и $\xi > \tau/\sqrt{\gamma}$ соответственно [6]. Аналогично $I_3 \neq 0$ в случае $\xi < \tau/\beta$ и $I_3 = 0$ в случае $\xi > \tau/\beta$. Область распространения возмущения разбивается фронтами волн изгиба и сдвига и сосредоточенной силой p_0 на три части. Координаты фронтов волн $\xi_1 = \tau$, $\xi_2 = \tau/\sqrt{\gamma}$, координата сосредоточенной силы $\xi_3 = \tau/\beta$. Вся область $0 < \xi < \xi_1$ охвачена волной изгиба, параметры волны определяются с помощью интеграла I_1 , в интервале $0 < \xi < \xi_2$ присутствуют волны изгиба и сдвига,

параметры волны сдвига определяются интегралом I_2 . В области $0 < \xi < \xi_3$ в дополнение к деформациям изгиба и сдвига возникают деформации, обусловленные действием сосредоточенной силы, которые определяются интегралом I_3 . В интервале $0 < \xi < \xi_3$ присутствуют все виды деформации.

Для удобства перехода к вещественным интегралам выражения для I_1 и I_2 представим в виде суммы

$$\frac{1}{2\pi i} I_1 = I'_1 + I''_1, \quad \frac{1}{2\pi i} I_2 = I'_2 + I''_2,$$

где

$$I'_1 = -\frac{1}{2\pi i} \int_{c-i\infty}^{c+i\infty} \frac{ka\gamma}{2f} (\lambda_2^2 - \gamma s^2 - \zeta) e^{\tau s - \lambda_2 \xi} ds, \quad \tau > \xi,$$

$$I''_1 = -\frac{1}{2\pi i} \int_{c-i\infty}^{c+i\infty} \frac{ka}{2b_1} \frac{[(\beta^2 - 1)\gamma s^2 - 1](\lambda_1^2 - \beta^2 s^2)(\lambda_2^2 - \gamma s^2 - \zeta) e^{\tau s - \lambda_2 \xi}}{ff_1} ds, \quad \xi < \tau < \sqrt{\gamma} \xi,$$

$$I'_2 = \frac{1}{2\pi i} \int_{c-i\infty}^{c+i\infty} \frac{ka\gamma}{2f} (\lambda_1^2 - \gamma s^2 - \zeta) e^{\tau s - \lambda_1 \xi} ds, \quad \sqrt{\gamma} \xi < \tau < \beta \xi,$$

$$I''_2 = \frac{1}{2\pi i} \int_{c-i\infty}^{c+i\infty} \frac{ka}{2b_1} \frac{[(\beta^2 - 1)\gamma s^2 - 1](\lambda_2^2 - \beta^2 s^2)(\lambda_1^2 - \gamma s^2 - \zeta) e^{\tau s - \lambda_1 \xi}}{ff_1} ds, \quad \sqrt{\gamma} \xi < \tau < \beta \xi,$$

$$\frac{1}{2\pi i} I_3 = \frac{1}{2\pi i} \int_{c-i\infty}^{c+i\infty} \frac{k\beta^2 s^2}{b_1 f_1} e^{(\tau - \beta \xi)s} ds, \quad \tau > \beta \xi.$$

В интеграле I_1 подынтегральные функции имеют точки ветвления $s = \pm a_1, \pm ia_2, \pm ia_5, \pm ia_6$; в интеграле I_2 — точки ветвления $s = \pm a_1, \pm ia_2$. Помимо указанных точек ветвления функции в I'_1 и I''_1 имеют простые полюсы в точках $\pm ia_3$ и $\pm ia_4$.

Контурные интегралы преобразуем в вещественные. Контурные для интегрирования I_1 и I_2 представлены на рис. 1. Комплексные выражения в подынтегральных функциях вычислены с учетом ограничений на их аргументы в зависимости от пути интегрирования и приведены в таблице. Вычисления проводились по формуле

$$I = \sum \text{res}(s) - \sum_{\gamma_i} \int,$$

где γ_i — пути интегрирования по берегам разреза и дуге окружности бесконечно малого радиуса. При стремлении радиуса окружности к нулю интегралы равны нулю. После вычислений находим

$$I'_1 = \frac{ka\gamma}{2\pi} \int_0^{a_1} \left(\frac{e^{-(\tau x + \eta_1 \xi)} [(R_1 - \gamma x^2 - \zeta) \cos(\eta_2 \xi) + R_2 \sin(\eta_2 \xi)]}{\sqrt{(a_1^2 - x^2)(a_2^2 + x^2)}} + \right. \\ \left. + \frac{e^{\tau x - \eta_2 \xi} [(R_1 - \gamma x^2 - \zeta) \cos(\eta_1 \xi) + R_2 \sin(\eta_1 \xi)]}{\sqrt{(a_1^2 - x^2)(a_2^2 + x^2)}} \right) dx,$$

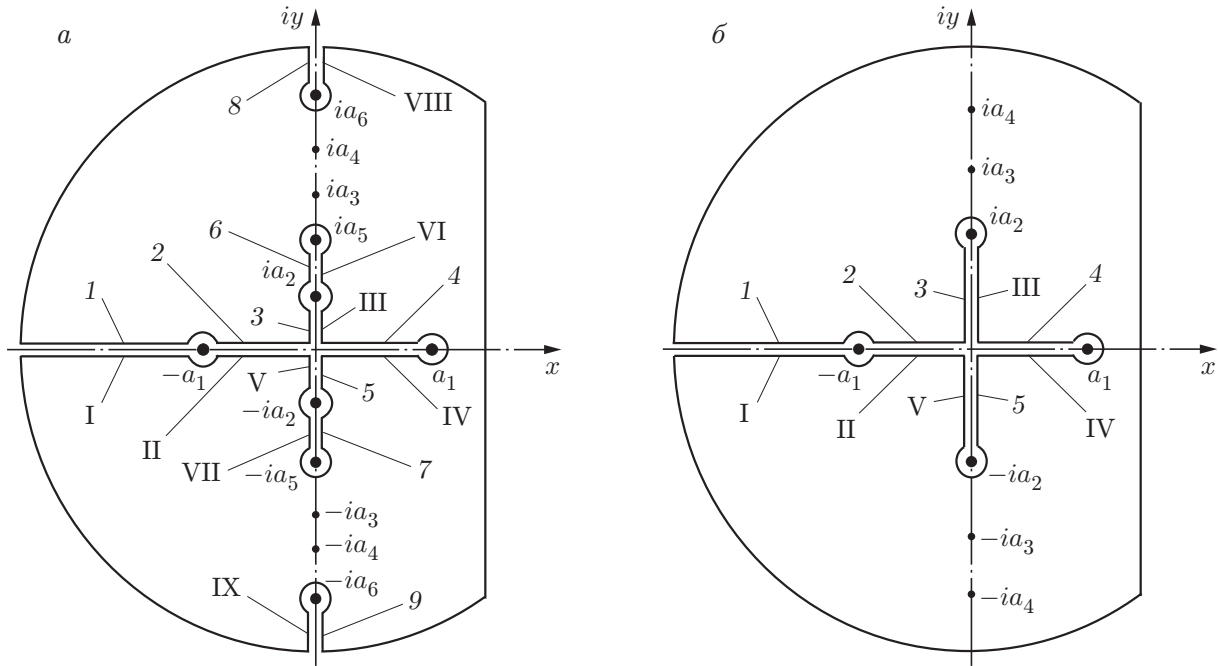


Рис. 1. Контурсы интегрирования I_1 (а) и I_2 (б) по формуле (16):
1-9 и I-IX — противоположные берега пути интегрирования

$$I_1'' = \text{res}(s)_1 - \frac{ka}{2\pi b_1} \int_0^{a_1} \left(\frac{e^{-(\tau x + \eta_1 \xi)} [(\beta^2 - 1)\gamma x^2 - 1] [T_1 \cos(\eta_2 \xi) - T_2 \sin(\eta_2 \xi)]}{\sqrt{(a_1^2 - x^2)(a_2^2 + x^2)(a_3^2 + x^2)(a_4^2 + x^2)}} + \right. \\ \left. + \frac{e^{\tau x - \eta_2 \xi} [(\beta^2 - 1)\gamma x^2 - 1] [T_1 \cos(\eta_1 \xi) - T_2 \sin(\eta_1 \xi)]}{\sqrt{(a_1^2 - x^2)(a_2^2 + x^2)(a_3^2 + x^2)(a_4^2 + x^2)}} \right) dx,$$

$$\text{res}(s)_1 = \frac{ka}{2b_1} \left(\frac{[(\beta^2 - 1)\gamma a_3^2 + 1](\bar{R}_1 - \bar{R}_2 + \beta^2 a_3^2)(\bar{R}_1 + \bar{R}_2 + \gamma a_3^2 - \zeta) e^{-\eta_6 \xi} \sin(a_3 \tau)}{a_3(a_3^2 - a_4^2) \sqrt{(a_3^2 + a_1^2)(a_3^2 - a_2^2)}} + \right. \\ \left. + \frac{[(\beta^2 - 1)\gamma a_4^2 + 1](\bar{R}_1 - \bar{R}_2 + \beta^2 a_4^2)(\bar{R}_1 + \bar{R}_2 + \gamma a_4^2 - \zeta) e^{-\eta_6 \xi} \sin(a_4 \tau)}{a_4(a_4^2 - a_3^2) \sqrt{(a_4^2 + a_1^2)(a_4^2 - a_2^2)}} \right),$$

$$R_1 = [(\gamma + 1)x^2 + \zeta]/2, \quad R_2 = (\gamma + 1)[|a_2^2 - x^2|(a_2^2 + x^2)]^{1/2}/2, \quad R = (R_1^2 + R_2^2)^{1/2},$$

$$T_1 = (R_1 - \beta^2 x^2)(R_1 - \gamma x^2 - \zeta) + R_2^2, \quad T_2 = R_2[(\beta^2 - \gamma)x^2 - \zeta],$$

$$\bar{R}_1 = [\zeta - (\gamma + 1)y^2]/2, \quad \bar{R}_2 = (\gamma - 1)[|a_1^2 + y^2|(a_2^2 - y^2)]^{1/2}/2, \quad \bar{R} = (\bar{R}_1^2 + \bar{R}_2^2)^{1/2},$$

$$\eta_{1,2} = [(R \mp R_1)/2]^{1/2}, \quad \eta_{3,4} = [(\bar{R} \pm \bar{R}_1)/2]^{1/2}, \quad \eta_{5,6} = |\bar{R}_1 \mp \bar{R}_2|^{1/2}.$$

Величины \bar{R}_1 , \bar{R}_2 и η_6 в первом слагаемом выражения для $\text{res}(s)_1$ определяются при $y = a_3$, во втором слагаемом — при $y = a_4$.

Комплексные величины в выражениях интегралов I_1 и I_2

Путь интегрирования	s	s^2	$s + a_1$	$s - a_1$	$\frac{\sqrt{s + a_1}}{\sqrt{s - a_1}}$	$s + ia_2$
$\frac{1}{I}$	$ x e^{\pm i\pi}$	x^2	$(x + a_1) e^{\pm i\pi}$	$(x - a_1) e^{\pm i\pi}$	$-\sqrt{x^2 - a_1^2}$	$\sqrt{a_2^2 + x^2} e^{i(\pi - \alpha)}$
$\frac{2}{II}$	$ x e^{\pm i\pi}$	x^2	$(a_1 - x) e^{\pm i\pi}$	$(a_1 - x) e^{\pm i\pi}$	$\pm i\sqrt{a_1^2 - x^2}$	$\sqrt{a_2^2 + x^2} e^{i(\pi - \alpha)}$
$\frac{4}{IV}$	x	x^2	$(a_1 - x) e^{\pm i\pi}$	$(a_1 - x) e^{\pm i\pi}$	$\pm i\sqrt{a_1^2 - x^2}$	$\sqrt{a_2^2 + x^2} e^{i\alpha}$
$\frac{3}{III}$	iy	$-y^2$	$\sqrt{a_1^2 + y^2} \frac{e^{i\alpha}}{e^{i(\pi - \alpha)}}$	$\sqrt{a_1^2 + y^2} \frac{e^{i(\pi - \alpha)}}{e^{i\alpha}}$	$i\sqrt{a_1^2 + y^2}$	$(a_2 + y) e^{i\pi/2}$
$\frac{5}{V}$	$-iy$	$-y^2$	$\sqrt{a_1^2 + y^2} e^{-i\alpha}$	$\sqrt{a_1^2 + y^2} e^{-i(\pi - \alpha)}$	$-i\sqrt{a_1^2 + y^2}$	$(a_2 + y) e^{-i\pi/2}$
$\frac{6, VI}{7, VII}$	$\pm iy$	$-y^2$	$\sqrt{a_1^2 + y^2} \frac{e^{i\alpha}}{e^{-i\alpha}}$	$\sqrt{a_1^2 + y^2} e^{\pm i(\pi - \alpha)}$	$\pm i\sqrt{a_1^2 + y^2}$	$(y \pm a_2) e^{\pm i\pi/2}$

Примечание. Арабские и римские цифры соответствуют отрезкам контура интегрирования

Для I_2 имеют место соотношения

$$I_2' = -I_1', \quad I_2'' = -(I_2' - \text{res}(s)_1) + \text{res}(s)_2,$$

$$\text{res}(s)_2 = \frac{ka}{2b_1} \left(\frac{T_3[(\beta^2 - 1)\gamma a_3^2 + 1] \sin(a_3\tau) \cos(\eta_5\xi)}{a_3(a_4^2 - a_3^2)\sqrt{(a_3^2 + a_1^2)(a_3^2 - a_2^2)}} + \right.$$

$$\left. + \frac{T_3[(\beta^2 - 1)\gamma a_4^2 + 1] \sin(a_4\tau) \cos(\eta_5\xi)}{a_4(a_3^2 - a_4^2)\sqrt{(a_4^2 + a_1^2)(a_4^2 - a_2^2)}} \right),$$

$$T_3 = (\bar{R}_1 + \bar{R}_2 + \beta^2 y^2)(\bar{R}_1 - \bar{R}_2 + \gamma y^2 - \zeta).$$

Величины \bar{R}_1 , \bar{R}_2 и η_5 , T_3 в первом слагаемом выражения для $\text{res}(s)_2$ определяются при $y = a_3$, во втором слагаемом — при $y = a_4$.

Интеграл I_3 имеет простые полюсы в точках $\pm ia_3$, $\pm ia_4$ и равен сумме вычетов в полюсах:

$$\frac{1}{2\pi i} I_3 = \text{res}(s)_3, \quad \tau > \beta\xi.$$

Здесь

$$\text{res}(s)_3 = \frac{k}{b_1(a_4^2 - a_3^2)} [\beta^2 a_4 \sin((\tau - \beta\xi)a_4) - \beta^2 a_3 \sin((\tau - \beta\xi)a_3)].$$

Интегралы по отрезкам контура интегрирования, обозначенным цифрами 1 и I, и по всем берегам разреза вдоль мнимой оси взаимно уничтожаются.

для различных путей интегрирования

$s - ia_2$	$\frac{\sqrt{s + ia_2} \times}{\sqrt{s - ia_2}}$	f	$\lambda_{1,2}^2$	$\lambda_{1,2}$	Интервал изменения x, y
$\sqrt{a_2^2 + x^2} e^{-i(\pi-\alpha)}$	$\sqrt{a_2^2 + x^2}$	$-\sqrt{x^2 - a_1^2} \times$ $\sqrt{x^2 + a_2^2}$	$R_1 \mp R_2$	$\sqrt{R_1 \mp R_2}$	$x < -a_1$
$\sqrt{a_2^2 + x^2} e^{-i(\pi-\alpha)}$	$\sqrt{a_2^2 + x^2}$	$\pm i \sqrt{a_1^2 - x^2} \times$ $\sqrt{a_2^2 + x^2}$	$\frac{R_1 \pm R_2}{R_1 \mp R_2}$	$\frac{\eta_1 \pm i\eta_2}{\eta_1 \mp i\eta_2}$	$-a_1 < x < 0$
$\sqrt{a_2^2 + x^2} e^{-i\alpha}$	$\sqrt{a_2^2 + x^2}$	$\pm i \sqrt{a_1^2 - x^2} \times$ $\sqrt{a_2^2 + x^2}$	$\frac{R_1 \pm R_2}{R_1 \mp R_2}$	$\frac{\eta_2 \pm i\eta_1}{\eta_2 \mp i\eta_1}$	$0 \leq x \leq a_1$
$(a_2 - y) e^{-i\pi/2}$	$\sqrt{a_2^2 - y^2}$	$i \sqrt{a_1^2 + y^2} \times$ $\sqrt{a_2^2 - y^2}$	$\bar{R}_1 \pm i\bar{R}_2$	$\eta_3 \pm i\eta_4$	$0 \leq y \leq a_2$
$(a_2 - y) e^{i\pi/2}$	$\sqrt{a_2^2 - y^2}$	$-i \sqrt{a_1^2 + y^2} \times$ $\sqrt{a_2^2 - y^2}$	$\bar{R}_1 \mp i\bar{R}_2$	$\eta_3 \mp i\eta_4$	$-a_2 \leq y \leq 0$
$(y \mp a_2) e^{\pm i\pi/2}$	$\pm i \sqrt{y^2 - a_2^2}$	$-\sqrt{y^2 + a_1^2} \times$ $\sqrt{y^2 - a_2^2}$	$\bar{R}_1 \mp \bar{R}_2$	$\lambda_1 = i\eta_5$ $\lambda_2 = \eta_6$	$y < -a_2$

на рис. 1.

В частном случае $V = c_2$ в (11) следует принять

$$D_1 = k[(\gamma - 1)\gamma s^2 - 1]/[b_3(s^2 + a_7^2)], \quad D_2 = k\sqrt{\gamma} s/[b_3(s^2 + a_7^2)],$$

где $b_3 = 1 - (\gamma - 1)\xi$; $a_7^2 = \zeta/(b_3\gamma)$. В случае шарнирного закрепления выражения для изгибающего момента имеют вид

$$m(\xi, \tau) = (I_1 + I_2 + I_3)/(2\pi i), \quad \tau > \sqrt{\gamma}\xi.$$

Здесь

$$I_1 = -\frac{ka}{2} \int_{c-i\infty}^{c+i\infty} \left[\frac{\gamma}{f} + (\lambda_1^2 - \gamma s^2) \frac{F_1}{F_2} \right] F_3 e^{\tau s - \lambda_2 \xi} ds,$$

$$I_2 = \frac{ka}{2} \int_{c-i\infty}^{c+i\infty} \left[\frac{\gamma F_5}{f} + (\lambda_2^2 - \gamma s^2) \frac{F_1 F_4}{F_2} \right] e^{\tau s - \lambda_1 \xi} ds,$$

$$F_1 = (\gamma - 1)\gamma s^2 - 1, \quad F_2 = fb_3(s^2 + a_7^2), \quad F_3 = \lambda_2^2 - \gamma s^2 - \zeta, \quad F_4 = \lambda_1^2 - \gamma s^2 - \zeta, \quad F_5 = \lambda_1^2 - \gamma s^2 - 1,$$

$$I_3 = k \int_{c-i\infty}^{c+i\infty} \frac{\gamma s^2}{b_3(s^2 + a_7^2)} e^{(\tau - \sqrt{\gamma}\xi)s} ds.$$

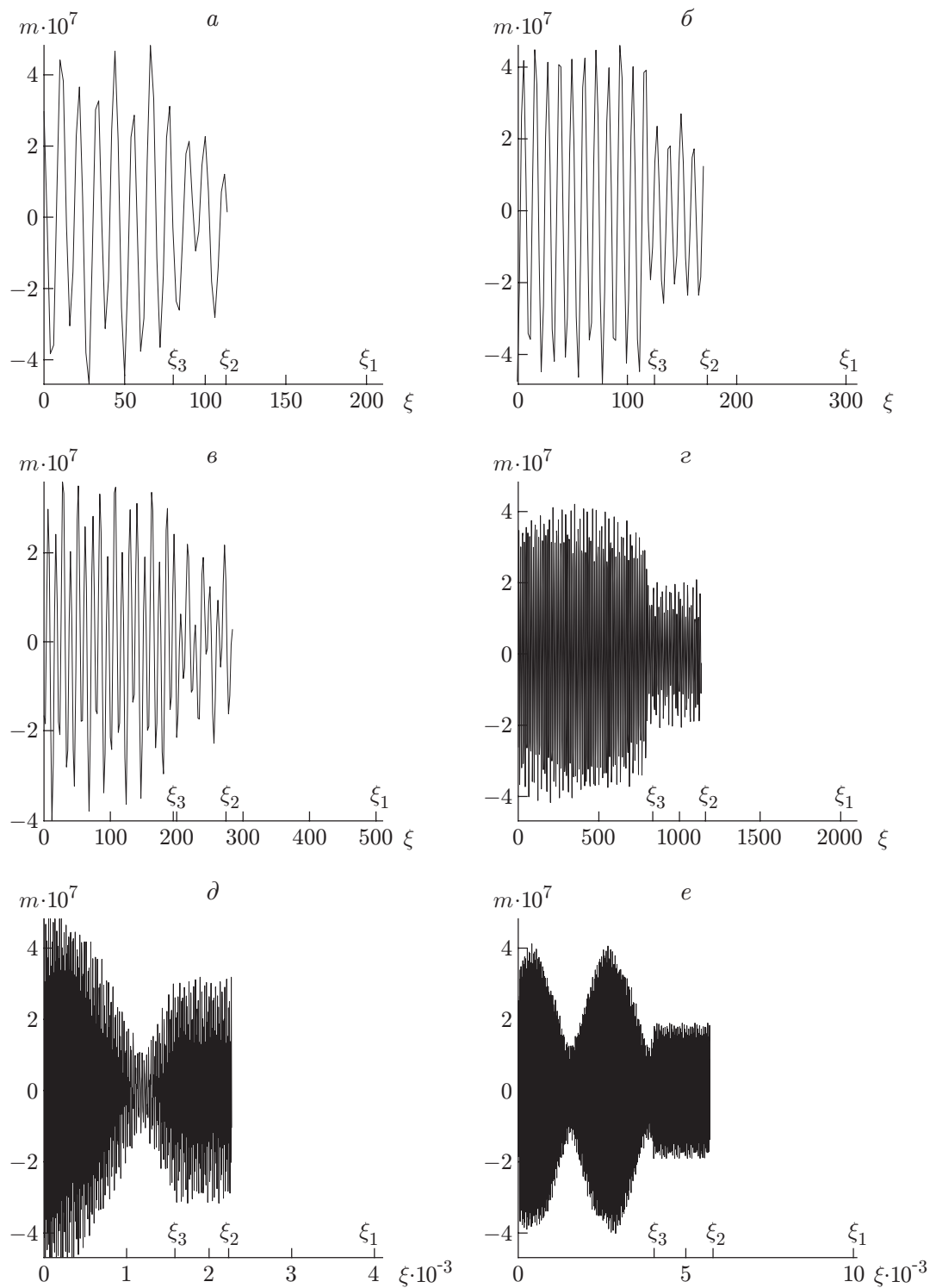


Рис. 2. Распределение изгибающего момента вдоль стержня при $V < c_2$:
a — $\tau = 200$; *б* — $\tau = 300$; *в* — $\tau = 500$; *г* — $\tau = 2000$; *д* — $\tau = 4000$; *e* — $\tau = 10000$

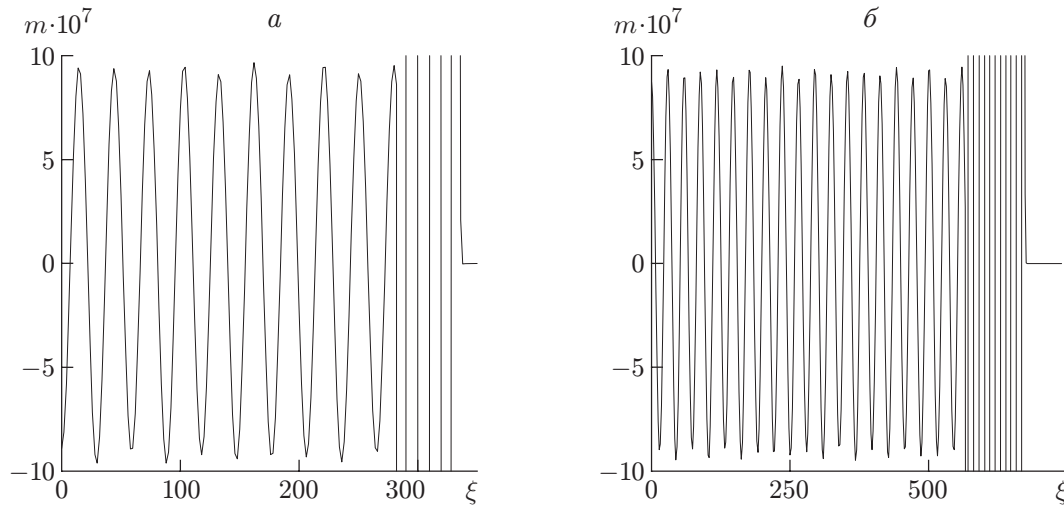


Рис. 3. Распределение изгибающего момента вдоль стержня при $V = c_2$:
 а — $\tau = 500$; б — $\tau = 1000$

Рассмотрим численный пример. Считаем, что $p_0 = 10$ кН/м, сечение балки прямоугольное, $b = h = 0,1$ м, $F = b \times h$, $E = 2 \cdot 10^5$ МПа, $\rho = 8$ т/м³, $c_1 = 5 \cdot 10^3$ м/с, $c_2 = 2,84 \cdot 10^3$ м/с, $V = 2 \cdot 10^3$ м/с, $\zeta = 1,35 \cdot 10^{-2}$, $\gamma = 3,1$, $\beta = 2,5$, $k = 1,25 \cdot 10^{-6}$, $a = 0,95$, $a_1 = 0,94$, $a_2 = 0,051$, $a_3 = 0,072$, $a_4 = 0,225$, $a_5 = 0,066$, $a_6 = 0,568$, $a_7 = 0,067$, $b_1 = 16,6$, $b_2 = -0,929$, $b_3 = 0,972$. Расчеты проводились по формулам

$$m(\xi, \tau) = \begin{cases} I'_1 + I''_1, & \xi_2 \leq \xi \leq \xi_1, \\ \text{res}(s)_1 + \text{res}(s)_2, & \xi_3 \leq \xi \leq \xi_2, \\ \text{res}(s)_1 + \text{res}(s)_2 + \text{res}(s)_3, & 0 \leq \xi \leq \xi_3. \end{cases}$$

Подынтегральные функции в интегралах I'_1 и I''_1 являются осциллирующими и в точке $x = a_1$ имеют бесконечный разрыв, поэтому при интегрировании по x обеспечивалось не менее 10 шагов в пределах длины полуволны, верхний предел принимался в виде $a_1(1 - \delta)$, где $\delta = 10^{-15}$. Таким образом определены главные значения несобственных интегралов. Вычисления проводились по методу трапеций.

По результатам расчетов построены графики зависимости $m(\xi)$ в различные моменты времени (рис. 2, 3). Для наблюдателя, находящегося в фиксированной точке стержня, графики представляют собой осциллограммы изгибающего момента.

Из приведенных данных следует, что в зоне возмущения движение стержня имеет сложный колебательный характер. При $V < c_2$ частота колебаний $f = 9$ кГц, в частном случае $V = c_2$ $f = 3,4$ кГц. Амплитуда волны изгиба на два порядка меньше амплитуды волны сдвига и в данном масштабе неразличима. Напряжения на волне сдвига и за нагрузкой равны 0,86 и 1,52 МПа соответственно.

Перед фронтом волны сдвига происходит всплеск амплитуды изгибающего момента m , который перемещается со скоростью c_2 . Скачкообразное увеличение амплитуды обусловлено предположением о сосредоточенности нагрузки [2]. По мере продвижения нагрузки вдоль стержня величина скачка амплитуды, длина участка стержня, где происходит всплеск амплитуды, а следовательно, и число колебаний увеличиваются. В результате каждая частица материала стержня подвергается действию изгибающего момента, возрастающего со временем.

ЛИТЕРАТУРА

1. **Якушев Н. З.** Динамика деформируемых систем под воздействием движущихся нагрузок. 1. Балки, стержни и арки под действием подвижных нагрузок // Исследования по теории пластин и оболочек. Казань: Изд-во Казан. гос. ун-та, 1972. Вып. 8. С. 3–42.
2. **Флоренс А. Л.** Воздействие движущейся силы на стержень Тимошенко // Прикл. механика. 1965. № 2. С. 108–116.
3. **Уфлянд Я. С.** Распространение волн при поперечных колебаниях стержней и пластин // Прикл. математика и механика. 1948. Т. 12, вып. 6. С. 287–300.
4. **Тимошенко С. П.** Теория колебаний в инженерном деле. М.: Наука, 1967.
5. **Айнбиндер А. Б.** Расчет магистральных трубопроводов на прочность и устойчивость / А. Б. Айнбиндер, А. Г. Камерштейн. М.: Недра, 1982.
6. **Voley V. A., Chao C. C.** Some solutions of the Timoshenko beam equations // Trans. ASME. 1955. V. 77. P. 579–586.

Поступила в редакцию 8/VI 2006 г.
